

ANALISIS HUBUNGAN KAUSALITAS ANTARA TINGKAT PENDIDIKAN, TINGKAT PENGANGGURAN TERBUKA, PDRB PER KAPITA, DAN PERSENTASE PENDUDUK MISKIN DI PROVINSI PAPUA

Sekar Eka Rahayu¹⁾, M. Afdal Samsuddin²⁾

Abstract

This study aims to analyze the causality relationship between the level of education (measured through Average Years of Schooling), Open Unemployment Rate (TPT), Gross Regional Domestic Product (GRDP) per capita, and the percentage of poor people in Papua Province. The data used is secondary quarterly time series data for the period 2015-2023 using the Vector Error Correction Model (VECM) methods. The stationarity test results show that all variables are stationary at the 2nd difference level, while the optimal lag test selects lag 4 as the best lag. The stability test proves that the model used is stable and valid. The Granger Causality test shows no significant short-term causality between variables, but the Johansen cointegration test proves a significant long-term relationship. The VECM estimation shows significant error correction term coefficients on some of the main variables, indicating the existence of an adjustment mechanism towards long-term equilibrium. IRF and Variance Decomposition (VD) results show each variable is most responsive to shocks from itself, but there are also inter-variable influences in the long run. These findings emphasize the importance of integrated development policies to reduce poverty in Papua in a sustainable manner.

Keywords: Education, Unemployment, GRDP, Poverty, Vector Error Correction Model (VECM)

Abstrak

Penelitian ini bertujuan untuk menganalisis hubungan kausalitas antara tingkat pendidikan (diukur melalui Rata-Rata Lama Sekolah), Tingkat Pengangguran Terbuka (TPT), Produk Domestik Regional Bruto (PDRB) per kapita, dan persentase penduduk miskin di Provinsi Papua. Data yang digunakan merupakan data sekunder time series kuartalan periode 2015–2023 dengan metode *Vector Error Correction Model* (VECM). Hasil uji stasioneritas menunjukkan seluruh variabel menjadi stasioner pada tingkat 2nd difference, sedangkan uji lag optimal memilih lag 4 sebagai lag terbaik. Uji stabilitas membuktikan model yang digunakan stabil dan valid. Uji *Granger Causality* menunjukkan tidak adanya hubungan kausalitas jangka pendek yang signifikan antar variabel, namun uji kointegrasi Johansen membuktikan adanya hubungan jangka panjang yang signifikan. Estimasi VECM memperlihatkan koefisien *error correction term* signifikan pada beberapa variabel utama, menandakan adanya mekanisme penyesuaian menuju keseimbangan jangka panjang. Hasil IRF dan *Variance Decomposition* (VD) menunjukkan setiap variabel paling responsif terhadap guncangan dari dirinya sendiri, namun juga terdapat pengaruh antar variabel dalam jangka panjang. Temuan ini menegaskan pentingnya kebijakan pembangunan yang terintegrasi untuk menurunkan kemiskinan di Papua secara berkelanjutan.

Kata Kunci: Pendidikan, Pengangguran, PDRB, Kemiskinan, Vector Error Correction Model (VECM)

¹⁾ Ilmu Ekonomi, Fakultas Ekonomi & Bisnis, Universitas Bangka Belitung, Pangkalpinang, Indonesia Email: ekasekar57b66@gmail.com

²⁾ Ilmu Ekonomi, Fakultas Ekonomi & Bisnis, Universitas Bangka Belitung, Pangkalpinang, Indonesia Email: m.afdal@ubb.ac.id

PENDAHULUAN

Provinsi Papua merupakan salah satu daerah di Indonesia yang menghadapi masalah pembangunan yang paling rumit, terutama dalam hal sosial dan ekonomi. Walaupun Papua memiliki banyak sumber daya alam, angka kemiskinan di daerah ini masih cukup tinggi dan pertumbuhan ekonominya belum berhasil membawa perbaikan yang signifikan bagi kesejahteraan masyarakat secara luas. Situasi ini memunculkan pertanyaan tentang hubungan antara tingkat pendidikan, angka pengangguran terbuka, Produk Domestik Regional Bruto (PDRB) per kapita, dan persentase penduduk yang hidup dalam kemiskinan di Papua.

Sebagian besar masyarakat Indonesia, termasuk di Provinsi Papua, menempuh pendidikan hingga jenjang menengah. Salah satu indikator yang sering digunakan untuk mengukur tingkat pendidikan ialah Rata-rata Lama Sekolah (RLS). Dalam Rencana Pembangunan Jangka Menengah Nasional (RPJMN) 2020-2024, RLS menjadi salah satu prioritas utama pembangunan. Menurut data BPS Papua, target RLS untuk penduduk berusia 15 tahun ke atas pada tahun 2024 adalah 9,18 tahun. Pembangunan di sektor pendidikan bertujuan untuk mewujudkan akses pendidikan yang merata, inklusif, dan mendukung kesempatan belajar sepanjang hayat bagi seluruh lapisan masyarakat. Oleh karena itu, sistem pendidikan harus mampu menjangkau setiap individu, tanpa terkecuali, terlepas dari usia, lokasi geografis, maupun kondisi sosial ekonomi mereka (Sari, 2025).

Pengangguran merupakan kondisi di mana seseorang belum memiliki pekerjaan namun sedang berusaha mencari, sedang mempersiapkan usaha, telah mendapat pekerjaan namun belum mulai bekerja, atau mengalami kesulitan dalam mendapatkan pekerjaan karena berbagai hambatan. Indikator yang digunakan untuk mengukur kondisi ini adalah Tingkat Pengangguran Terbuka (TPT), yang menggambarkan seberapa banyak angkatan kerja yang belum terserap oleh dunia kerja secara optimal. Berdasarkan data Sakernas Agustus 2024, TPT nasional tercatat sebesar 6,48 persen, artinya sekitar 6 dari setiap 100 orang angkatan kerja masih menganggur. Di wilayah Papua Barat Daya, TPT dalam dua tahun terakhir menunjukkan kecenderungan stabil, dengan sedikit perbaikan. Bahkan, pada Agustus 2024 terjadi penurunan TPT sebesar 0,10% poin dibandingkan periode yang sama tahun sebelumnya, yang mencerminkan perbaikan kecil pada penyerapan tenaga kerja di daerah tersebut (BPS Provinsi Papua Barat, 2024).

Pertumbuhan Produk Domestik Regional Bruto (PDRB) sangat dipengaruhi oleh peran berbagai sektor ekonomi di suatu daerah. Besarnya kontribusi pendapatan dari setiap sektor mencerminkan bagaimana perencanaan dan perkembangan yang dilakukan di wilayah tersebut berjalan. Jika sektor-sektor tersebut dapat memberikan kontribusi yang lebih besar terhadap PDRB, maka hal ini akan mendorong pertumbuhan ekonomi daerah menjadi lebih optimal (Thahir et al., 2021). Berdasarkan Badan Pusat Statistik Provinsi Papua tahun 2025, persentase pertumbuhan ekonomi Provinsi Papua sebesar 4,11%,

dimana angka tersebut mengalami sedikit perlambatan dibandingkan capaian tahun 2023 yang mencapat 4,22%. (Badan Pusat Statistik Provinsi Papua, 2025).

Kemiskinan diartikan sebagai ketidakmampuan individu untuk memenuhi kebutuhan hidupnya. Jika dibandingkan dengan provinsi lain, pada Maret 2024, Provinsi Papua berada di peringkat ke-32 dari 38 provinsi berdasarkan persentase penduduk miskin. Angka kemiskinan di Papua juga lebih tinggi dibandingkan ratarata nasional pada periode yang sama. Pada Maret 2024, total penduduk miskin di Provinsi Papua tercatat sebanyak 152,91 ribu orang, yang setara dengan persentase kemiskinan sebesar 17,26 persen (Badan Pusat Statistik Provinsi Papua, 2024).

Memahami hubungan sebab-akibat antara faktor-faktor tersebut sangat penting untuk menentukan kebijakan pembangunan agar lebih efektif dan inklusif. Oleh karena itu, penelitian ini bertujuan untuk menganalisis hubungan kausalitas antara tingkat pendidikan, tingkat pengangguran terbuka, PDRB per kapita, dan persentase penduduk miskin di Provinsi Papua. Hasil penelitian diharapkan mampu memberikan data empiris yang berguna sebagai dasar pengambilan keputusan strategis dalam pengembangan pembangunan daerah.

METODE PENELITIAN

Penelitian ini menggunakan pendekatan kuantitatif dengan data sekunder time series tahunan yang diinterpolasi ke dalam bentuk kuartal untuk periode 2015–2023. Analisis dilakukan menggunakan metode *Vector Error Correction Model* (VECM) yang diuji menggunakan Eviews9.

Tahapan analisis VECM pada penelitian ini terdiri dari:

- 1. Uji Stasioneritas (*Unit Root Test*)
- 2. Uji Lag Optimal
- 3. Uji Stabilitas (*Invers Root*)
- 4. Uji Kausalitas Granger (Granger Causality)
- 5. Uji Kointegrasi Johansen
- 6. Estimasi VAR/VECM
- 7. Uji Impulse Response Function (IRF)
- 8. Uji Variance Decomposition (VD)

HASIL DAN PEMBAHASAN Analisis Data

1. Uji Stasioneritas (Unit Root Test)

Unit Root Test dilakukan untuk melihat tingkat stasioner dari data apakah mengandung root atau tidak (Ahmad & Triani, 2018). Dalam temuan ini, pengujian stasioneritas dilakukan menggunakan metode Augmented Dickey-Fuller (ADF) dan Phillips-Perron (PP).

Jika hasil pengujian menunjukkan data tidak stasioner pada tingkat level, maka perlu diolah lebih lanjut dengan cara melakukan differencing pertama (1st difference). Namun, jika setelah dilakukan differencing pertama data masih belum menunjukkan sifat stasioner, maka proses differencing dilanjutkan ke tingkat kedua (2nd difference) hingga data benar-benar menjadi stasioner. Proses ini penting dilakukan agar data yang digunakan dalam analisis



selanjutnya memenuhi asumsi stasioneritas, sehingga hasil penelitian menjadi lebih valid dan dapat dipercaya.

Tabel 1. Hasil Uji Stasioneritas Tingkat Level

	Augmented Dickey Fuller test statistic			
Variabel	Probabilitas	Keterangan		
	Level			
RLS	-1.566687	Tidak Stasioner		
KLS	(0.4883)	Tidak Stasionei		
IPM	-0.924599	Tidak Stasioner		
IFIVI	(0.7680)	Tidak Stasionei		
PPM	0.292591	Tidak Stasioner		
PPIVI	(0.9732)	Tidak Stasioner		
PDRB	-2.635951*	Tidak Stasioner		
FUKD	(0.0959)	Tiuak Stasioner		

Sumber: Hasil olah data Eviews9

Tabel 1 diatas menunjukkan hasil uji *unit root test* pada semua variabel adalah > 0.05 atau berada di atas taraf signifikansi 5% yang artinya uji stasioner harus dilanjutkan ke tahap 1st difference.

Tabel 2. Hasil Uji Stasioneritas Tingkat 1st Difference

Tabel 2. Hash Off Stasioneritas Thigkat T Difference				
	Augmented Dickey Fuller test statistic			
Variabel	Probabilitas Keterangan			
	First Difference			
RLS	-2.922773*	Tidak Stasioner		
KLS	(0.0531)	Tiuak Stasionei		
IPM	-2.217188	Tidak Stasioner		
IFIVI	(0.2041)	Tiuak Stasionei		
PPM	-4.701950***	Stasioner		
FFIVI	(0.0009)	Stasioner		
PDRB	-3.371386**	Stasioner		
FUKD	(0.0192)	Stasioner		

Sumber: Hasil olah data Eviews9

Tabel 2 diatas menunjukkan bahwa hasil uji *unit root test* untuk variabel RLS dan IPM adalah > 0.05 atau berada di atas taraf signifikansi 5%. Hanya variabel PPM dan PDRB yang < 0.05 atau berada dibawah taraf signifikansi 5%, artinya uji stasioner harus dilanjutkan ke tahap 2nd difference.

Tabel 3. Hasil Uji Stasioneritas Tingkat 2nd Difference

	Augmented Dickey Fuller test statistic			
Variabel	Probabilitas Keterangai			
	Second Difference			
RLS	-7.233347***	Stasioner		
KLS	(0.0000)	Stasioner		
IPM	-7.175851***	Stasioner		
IF IVI	(0.0000)	Stasioner		
PPM	-5.294003***	Stasioner		
LLIVI	(0.0002)	Stasioner		
PDRB	-4.545275***	Stasioner		
LOKE	(0.0011)	Stasioner		

Sumber: Hasil olah data Eviews9

Tabel 3 diatas menunjukkan bahwa hasil uji *unit root test* untuk semua adalah < 0.05 atau berada di bawah taraf signifikansi 5% sehingga dapat ditarik kesimpulan bahwa semua variabel stasioner di tingkat 2nd difference.

2. Uji Lag Optimal

Uji lag optimal digunakan untuk melihat total periode yang digunakan untuk menunda variabel independen sebelum dikaitkan dengan variabel dependen. Untuk menentukan berapa panjang lag yang tepat, kita dapat melihat nilai terendah dari beberapa kriteria, yakni Likelihood ratio (LR), Final prediction error (FPE), Akaike info criterion (AIC), Schwarz information criterion (SC), dan Hannan-Quinn information criterion (HQ). Nilai yang paling rendah ditandai dengan simbol bintang (*) dan lag yang dipilih ialah lag dengan simbol * paling banyak. Kriteria ini digunakan untuk menentukan panjang lag optimum untuk uji granger causality (Ratundima et al., 2024).

Tabel 4. Hasil Uji Lag Optimal

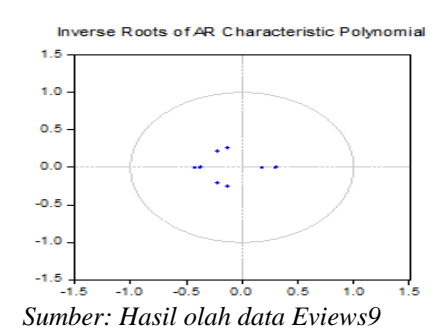
Lag	LogL	LR	FPE	AIC	SC	HQ
0	30.02367	NA	1.95e-06	-1.794736	-1.606143	-1.735671
1	34.58972	7.557608	4.36e-06	-1.006188	-0.063225	-0.710864
2	35.22468	0.875801	1.35e-05	0.053471	1.750803	0.585054
3	38.95694	4.118354	3.80e-05	0.899522	3.351225	1.667364
4	186.3455	121.9767*	6.65e-09*	-8.161755	-4.955682*	-7.157653
5	211.9411	14.12175	8.05e-09	-8.823526*	-4.863083	-7.583165*

Sumber: Hasil olah data Eviews9

Berdasarkan Tabel 4 diatas, nilai AIC terendah ditandai dengan tanda * yaitu terdapat di lag 5 karena nilai AIC terendah berada di lag 5 yaitu sebesar -8.823526. Namun, lag yang dipilih adalah lag yang memiliki simbol * terbanyak yaitu lag 4, sehingga untuk di uji kointegrasi lag terbaik yang dipilih adalah lag 4.

3. Uji Stabilitas/Invers Root

Uji Stabilitas dilakukan untuk melihat data stabil atau tidaknya dalam model penelitian VAR/VECM (Ahmad & Triani, 2018). Jika hasil pengujian memperlihatkan bahwa nilai modulus AR Roots <1 atau ada dalam lingkaran satuan, maka model tersebut dianggap stabil. Dengan kondisi ini, hasil analisis IRF dan FEVD dapat dianggap valid dan dapat dipercaya.



Gambar 1. Hasil Uji Stabilitas/Invers Root

Gambar 1 menampilkan semua nilai modulus AR nominalnya berada dalam lingkaran unit. Artinya, model



bersifat stabil dan dapat digunakan untuk peramalan (forecasting) maupun analisis Impulse Response Function (IRF) dan Variance Decomposition (VD) dengan hasil yang valid dan reliabel.

4. Uji Kausalitas Granger (Granger Causality)

Uji granger causality dilakukan untuk melihat adakah hubungan sebab-akibat antar variabel. Hubungan ini bisa terjadi satu arah, maupun dua arah (timbal balik) antara variabel satu dan variabel lainnya (Ahmad & Triani, 2018).

Tabel 5. Hasil Uji Kausalitas Granger

Variabel	Probabilitas					
Dependen	RLS IPM PPM PDRB					
RLS	-	0.9810	0.9234	0.9917		
IPM	0.9741	-	0.9252	0.8668		
PPM	0.9195	0.9924	-	0.9716		
PDRB	0.9961	0.9642	0.9996	-		

Sumber: Hasil olah data Eviews9

Tabel 5 diatas menunjukkan tidak terdapat hubungan kausalitas satu arah (*Granger Causality*) yang signifikan antar variabel pada tingkat signifikansi umum ($\alpha = 5\%$). Hal ini terlihat dari semua nilai probabilitas (p-value) > 0.05.

Dengan demikian, dalam model ini dapat disimpulkan tidak ada variabel yang signifikan memengaruhi variabel lainnya dalam jangka pendek secara statistik. Artinya, perubahan pada satu variabel tidak dapat digunakan secara signifikan untuk memprediksi perubahan pada variabel lain antara semua variabel yang diuji.

5. Uji Kointegrasi Johansen

Uji kointegrasi Johansen dilakukan untuk menguji apakah terdapat kestabilan hubungan jangka panjang antara dua variabel atau lebih. Jika hasil uji menunjukkan adanya kointegrasi, ini menandakan bahwa variabelvariabel tersebut memiliki keterkaitan jangka panjang yang saling berpengaruh (Chachi & Sukamto, 2015). Variabel mempunyai kointegrasi jika nilai probabilitasnya <0.05. (Ratundima et al., 2024).

Tabel 6. Hasil Uji Kointegrasi Johansen

Hypothesized No. of CE(s)	Eigenvalue	Trace Statistic	0.05 Critical Value	Prob.**
None	0.245788	31.44343	47.85613	0.6426
At most 1	0.244552	22.69889	29.79707	0.2612
At most 2	0.230270	14.00511	15.49471	0.0828
At most 3 *	0.173093	5.891940	3.841466	0.0152

Sumber: Hasil olah data Eviews9

Tabel 6 menunjukkan hasil bahwa nilai probabilitas (Prob.) untuk hipotesis "None", "At most 1", dan "At most 2" semuanya > 0.05, yang berarti hipotesis nol pada masing-masing tahap tersebut tidak dapat ditolak. Namun, pada hipotesis "At most 3", nilai probabilitas sebesar

0.0152 < 0.05, menunjukkan bahwa hipotesis nol pada tahap ini dapat ditolak. Hasil tersebut menyatakan setidaknya terdapat satu hubungan kointegrasi (cointegrating equation) antar variabel dalam model. Dengan demikian, semua variabel yang diuji memiliki hubungan jangka panjang yang signifikan, sehingga model yang tepat untuk analisis lebih lanjut adalah model VECM (Vector Error Correction Model).

6. Estimasi VAR/VECM

Tabel 7. Hasil Estimasi VECM

Vector Error Correction Estimates Date: 06/09/25 Time: 17:17 Sample (adjusted): 201604 2023Q4 Included observations: 29 after adjustments Standard errors in () & t-statistics in []

Otanidara cirors iii () a t	Statistics III []			
Cointegrating Eq:	CointEq1			
D(RLS(-1),2)	1.000000			
D(IPM(-1),2)	0.507716 (0.05272)			
	[9.63120]			
D(PPM(-1),2)	-0.365387			
	(0.01576) [-23.1848]			
D(PDRB(-1),2)	0.040903 (0.00357)			
	[11.4671]			
С	0.003330			
Error Correction:	D(RLS,3)	D(IPM,3)	D(PPM,3)	D(PDRB,3)
CointEq1	0.845691	2.899912	9.130917	94.14504
Contegi	(1.51793) [0.55713]	(2.08344)	(8.22671) [1.10991]	(40.3769)
	[0.55713]	[1.39189]	[1.10991]	[2.33165]
D(RLS(-1),3)	-0.897137	-1.315335	-5.694266	-52.96957
	(0.62532) [-1.43469]	(0.85828) [-1.53252]	(3.38903) [-1.68021]	(16.6335) [-3.18452]
D(RLS(-2).3)	-0.604334	-1.175083	-4 448684	-36.58719
D(RES(-2),3)	(0.62593)	(0.85911) [-1.36778]	(3.39232)	(16.6496)
	[-0.96550]	[-1.36778]	[-1.31140]	[-2.19748]
D(RLS(-3),3)	-0.478589	-1.154817	-4.464248	-42.68020
	(0.72037) [-0.66436]	(0.98875) [-1.16796]	(3.90418) [-1.14345]	(19.1618) [-2.22735]
D(RLS(-4).3)	-0.660524	-0.927776	-4.530802	-72.08491
D(RL3(-4),3)	(0.73186)	(1.00452)	(3.96646)	(19.4675)
	[-0.90252]	[-0.92360]	[-1.14228]	[-3.70283]
D(IPM(-1),3)	-0.681042	-3.093552	-6.416094	-78.53908 (33.7315) [-2.32836]
	(1.26811) [-0.53705]	(1.74054) [-1.77735]	(6.87272) [-0.93356]	(33.7315) [-2.32836]
D(IPM(-2),3)	-0.691197	-2.952701	-6.649379	-78.87547
D(II M(-2),3)	(1.28518)	(1.76398)	(6.96528) [-0.95465]	(34.1858)
	[-0.53782]	[-1.67389]	[-0.95465]	[-2.30726]
D(IPM(-3),3)	-0.714649 (1.27547)	-2.802092	-7.027649 (6.91263)	-79.15746 (33.9274)
	(1.27547) [-0.56030]	(1.75064) [-1.60061]	(6.91263) [-1.01664]	(33.9274) [-2.33314]
D(IPM(-4),3)	-0.701276	-1.552249	-6.771762	-122.6163
D(IFM(-4),3)	(1.29528)	(1.77783) [-0.87311]	(7.01999)	(34.4544)
	[-0.54141]	[-0.87311]	[-0.96464]	[-3.55880]
D(PPM(-1),3)	0.102157	0.686300	1.066920	15.34204
	(0.27746) [0.36819]	(0.38083) [1.80213]	(1.50374) [0.70951]	(7.38040) [2.07876]
D(PPM(-2).3)	0.105314	0.649880	1.084384	14.50219
_ ((0.27270) [0.38618]	(0.37430) [1.73625]	(1.47797) [0.73370]	(7.25393) [1.99922]
D(PPM(-3),3)	0.104748 (0.27034)	0.600482	1.251670 (1.46518)	16.00054
	[0.38746]	(0.37106) [1.61829]	[0.85428]	(7.19113) [2.22504]
D(PPM(-4),3)	0.234733	0.427022	0.751505	9.857008
- 0 - 111 - 11-7	(0.27363)	(0.37558)	(1.48301)	(7.27866)
	[0.85783]	[1.13698]	[0.50674]	[1.35423]
D(PDRB(-1),3)	-0.027765 (0.04799)	-0.104495 (0.06586)	-0.275328 (0.26008)	-3.056305 (1.27646)
	[-0.57859]	[-1.58651]	[-1.05865]	[-2.39436]
D(PDRB(-2),3)	-0.027605	-0.101978	-0.276250	-3.011058
	(0.04828)	(0.06626)	(0.26165) [-1.05578]	(1.28420)
	[-0.57179]	[-1.53895]		[-2.34469]
D(PDRB(-3),3)	-0.027202	-0.098767 (0.06611)	-0.282523 (0.26105)	-3.030114
			[-1.08227]	(1.28123) [-2.36501]
	(0.04817) [-0.56475]	[-1.49396]	[-1.08227]	
D(PDRB(-4) 3)		[-1.49396] -0.057578		-4 555620
D(PDRB(-4),3)	-0.026669 (0.04883)	[-1.49396] -0.057578 (0.06702)	-0.256387 (0.26463)	-4.555630 (1.29882)
D(PDRB(-4),3)	-0.026669	[-1.49396] -0.057578	-0.256387	
D(PDRB(-4),3)	-0.026669 (0.04883) [-0.54619]	[-1.49396] -0.057578 (0.06702) [-0.85913] -0.001193	-0.256387 (0.26463) [-0.96884]	(1.29882) [-3.50751]
	-0.026669 (0.04883) [-0.54619]	[-1.49396] -0.057578 (0.06702) [-0.85913]	-0.256387 (0.26463) [-0.96884]	(1.29882) [-3.50751]
C R-squared	-0.026669 (0.04883) [-0.54619] 0.001194 (0.00683) [0.17483]	[-1.49396] -0.057578 (0.06702) [-0.85913] -0.001193 (0.00937) [-0.12737] 0.966810	-0.256387 (0.26463) [-0.96884] 0.010019 (0.03700) [0.27080]	(1.29882) [-3.50751] 0.105971 (0.18159) [0.58358] 0.993525
C R-squared Adj. R-squared	-0.026669 (0.04883) [-0.54619] 0.001194 (0.00683) [0.17483] 0.825792 0.556562	[-1.49396] -0.057578 (0.06702) [-0.85913] -0.001193 (0.00937) [-0.12737] 0.966810 0.915517	-0.256387 (0.26463) [-0.96884] 0.010019 (0.03700) [0.27080] 0.833364 0.575835	(1.29882) [-3.50751] 0.105971 (0.18159) [0.58358] 0.993525 0.983517
C R-squared Adj. R-squared Sum sq. resids S.E. equation	-0.026669 (0.04883) [-0.54619] 0.001194 (0.00683) [0.17483] 0.825792 0.556562 0.014755 0.036624	[-1.49396] -0.057578 (0.06702) [-0.85913] -0.001193 (0.00937) [-0.12737] 0.966810 0.915517 0.027796 0.050269	0.256387 (0.26463) [-0.96884] 0.010019 (0.03700) [0.27080] 0.833364 0.575835 0.433390 0.198492	(1.29882) [-3.50751] 0.105971 (0.18159) [0.58358] 0.993525 0.983517 10.43984 0.974205
C R-squared Adj. R-squared Sum sq. resids S.E. equation F-statistic	-0.026669 (0.04883) [-0.54619] 0.001194 (0.00683) [0.17483] 0.825792 0.556562 0.014755 0.036624 3.067238	[-1.49396] -0.057578 (0.06702) [-0.85913] -0.001193 (0.00937) [-0.12737] 0.966810 0.915517 0.027796 0.050269 18.848864	0.256387 (0.26463) [-0.96884] 0.010019 (0.03700) [0.27080] 0.833364 0.575835 0.433390 0.198492 3.236003	(1.29882) [-3.50751] 0.105971 (0.18159) [0.58358] 0.993525 0.983517 10.43984 0.974205 99.27801
C R-squared Adj. R-squared Sum sq. resids SE. equation For all residual res	-0.026669 (0.04883) [-0.54619] 0.001194 (0.00683) [0.17483] 0.825792 0.556562 0.014755 0.036624 3.067238 68.81130 -3.504227	[-1.49396] -0.057578 (0.06702) [-0.85913] -0.001193 (0.00937) [-0.12737] -0.966810 0.915517 0.027796 0.050269 18.84864 59.62789 -2.870889	0.256387 (0.26463) [-0.96884] 0.010019 (0.03700) [0.27080] 0.833364 0.575835 0.433390 0.198492 3.236003 19.80028 -0.124157	(1.29882) [-3.50751] 0.105971 (0.18159) [0.58358] 0.993525 0.983517 10.43984 0.974205 99.27801 -26.33505 3.057589
C R-squared Adj. R-squared Squesids SE equation F-statistic Log likelihood Akaike AIC Schwarz SC	-0.026669 (0.04883) [-0.54619] 0.001194 (0.00683) [0.17483] 0.828792 0.556562 0.036624 3.067238 68.81130 -3.504227 2.2655561	[-1.49396] -0.057578 (0.06702) [-0.85913] -0.001193 (0.00937) [-0.12737] 0.966810 0.915517 0.027796 0.050269 18.84864 59.62789 -2.870889 -2.870889	0.256387 (0.26463) [-0.96884] 0.010019 (0.03700) [0.27080] 0.833364 0.575835 0.433390 0.198492 3.236003 19.80028 -0.124157 0.724509	(1.29882) [-3.50751] 0.105971 (0.18159) [0.58358] 0.993525 0.983517 10.43984 0.974205 99.27801 -26.33505 3.057589
R-squared Adj. R-squared Sum sq. resids S.E. equation F-statistic Log likelihood Schwarz SC Mean dependent	-0.026669 (0.04883) [-0.54619] 0.001194 (0.00683) [0.17483] 0.825792 0.556562 0.014755 0.036624 3.067238 68.81130 -3.504227	[-1.49396] -0.057578 (0.06702) [-0.85913] -0.001193 (0.00937) [-0.12737] -0.966810 0.915517 0.027796 0.050269 18.84864 59.62789 -2.870889	0.256387 (0.26463) [-0.96884] 0.010019 (0.03700) [0.27080] 0.833364 0.575835 0.433390 0.198492 3.236003 19.80028 -0.124157	(1.29882) [-3.50751] 0.105971 (0.18159) [0.58358] 0.993525 0.983517 10.43984 0.974205 99.27801 -26.33505 3.057589
C R-squared Adj. R-squared Sum sq. resids F-statistic Log likelihood Akaike AIC Schwarz SC Mean dependent S.D. dependent	-0.026669 (0.04883) [-0.54619] 0.001194 (0.00683) [0.17483] 0.825792 0.556562 0.036624 3.067238 68.81130 -3.50427 -2.655561 0.00345 0.054999 ance (dof adj.)	[-1.49396] -0.057678 (0.06702) [-0.85913] -0.001193 (0.00937) -0.12737] -0.966810 0.915517 0.027796 0.050269 18.84864 59.62789 -2.022223 -0.00347 0.172947	0.256387 (0.26463) [-0.96884] 0.010019 (0.03700) [0.27080] 0.833364 0.575835 0.433390 0.198492 3.236003 19.80028 -0.124157 0.724509 0.001724	(1.29882) [-3.50751] 0.105971 (0.18159) [0.58358] 0.993525 0.983517 10.43984 0.974205 99.27801 -26.33505 3.057589 3.906256 0.016897
C R-squared Adj. R-squared Sum sq. resids S.E. equation F-statistic Log likelihood Akaike AlC Schwarz SC Mesan dependent S.D. dependent Determinant resid covari	-0.026669 (0.04883) [-0.54619] 0.001194 (0.00683) [0.17483] 0.825792 0.556562 0.036624 3.067238 68.81130 -3.50427 -2.655561 0.00345 0.054999 ance (dof adj.)	[-1.49396] -0.057578 (0.06702) -0.89913] (0.0937) -0.001193 (0.00937) -0.127377 -0.27796 0.050269 18.84864 0.050269 18.84864 0.050269 18.84864 0.050269 18.84864 0.772947 8.78E-10 1.712947	0.256387 (0.26463) [-0.96884] 0.010019 (0.03700) [0.27080] 0.833364 0.575835 0.433390 0.198492 3.236003 19.80028 -0.124157 0.724509 0.001724	(1.29882) [-3.50751] 0.105971 (0.18159) [0.58358] 0.993525 0.983517 10.43984 0.974205 99.27801 -26.33505 3.057589 3.906256 0.016897
C R-squared Adj. R-squared Sum sq. resids S.E. equation F-squared F-squared Adj. R-squared R-squared R-squared R-squared R-squared	-0.026669 (0.04883) [-0.54619] 0.001194 (0.00683) [0.17483] 0.825792 0.556562 0.014753 3.067238 68.81130 -3.504227 -2.655561 0.000345 0.054999 ance (dof adj.)	[-1.49396] -0.057678 (0.06702) [-0.85913] -0.001193 (0.00937) -0.12737] -0.966810 0.915517 0.027796 0.050269 18.84864 59.62789 -2.022223 -0.00347 0.172947	0.256387 (0.26463) [-0.96884] 0.010019 (0.03700) [0.27080] 0.833364 0.575835 0.433390 0.198492 3.236003 19.80028 -0.124157 0.724509 0.001724	(1.29882) [-3.50751] 0.105971 (0.18159) [0.58358] 0.993525 0.983517 10.43984 0.974205 99.27801 -26.33505 3.057589 3.906256 0.016897

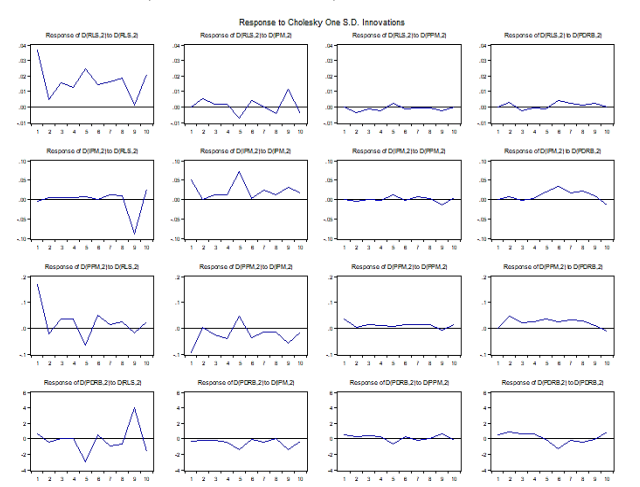
Sumber: Hasil olah data Eviews9

Tabel 7 menunjukkan adanya dua hubungan kointegrasi yang menjelaskan hubungan jangka panjang antar variabel. *Koefisien error correction term* (ECT) pada

variabel IPM, PPM, dan PDRB signifikan secara statistik, menandakan ketiganya melakukan penyesuaian terhadap ketidakseimbangan jangka panjang. Nilai R-squared yang tinggi menunjukkan model dapat menjelaskan variasi data dengan baik. Dengan nilai AIC dan SC yang relatif rendah, model ini dapat disimpulkan stabil dan layak digunakan untuk analisis hubungan jangka pendek dan panjang antar variabel.

7. Uji Impulse Response Function (IRF)

IRF merupakan uji yang digunakan untuk melihat adanya pengaruh guncangan dari variabel satu terhadap variabel lain (Putra et al., 2022).



Sumber: Hasil olah data Eviews9

Gambar 2. Hasil Uji Impulse Response Function (IRF)

Gambar 2 menunjukkan bahwa sebagian besar variabel dalam model ini menunjukkan pola hubungan yang kuat, yaitu respon tertinggi terhadap guncangan dari dirinya sendiri. Baris pertama terlihat bahwa RLS merespons shock dari variabel lain. Respons terhadap shock IPM menunjukkan fluktuasi ringan di awal dan segera stabil, menunjukkan bahwa pembangunan manusia mungkin memiliki pengaruh balik terhadap peningkatan lama sekolah melalui kebijakan sosial atau program kesejahteraan. Respons terhadap PPM cukup stabil, menunjukkan efek jangka pendek yang terbatas. Respons RLS terhadap PDRB memperlihatkan respons awal yang fluktuatif namun segera stabil, mengindikasikan bahwa pertumbuhan ekonomi dapat berdampak pada pendidikan, tetapi pengaruhnya tidak bertahan lama.

Baris kedua menunjukkan respons IPM terhadap shock dari RLS, PPM, dan PDRB dapat diamati. Shock pada RLS memicu respons positif yang cukup jelas pada IPM di awal periode, yang sangat logis karena lama sekolah merupakan salah satu komponen penyusun IPM. Respons IPM terhadap shock PPM relatif kecil, menandakan hubungan tidak langsung. Respons terhadap PDRB juga menunjukkan efek positif ringan, memperkuat dugaan bahwa pembangunan ekonomi mendorong perbaikan kualitas hidup manusia secara umum.

Pada baris ketiga, respons PPM terhadap shock dari variabel lain. Respons PPM terhadap RLS dan IPM

menunjukkan sedikit fluktuasi awal tetapi secara umum kembali stabil, yang menunjukkan bahwa peningkatan rata-rata lama sekolah dan IPM dapat memengaruhi partisipasi pendidikan tinggi, meski efeknya tidak berlangsung lama. Sementara itu, respons PPM terhadap PDRB menunjukkan reaksi awal yang cukup fluktuatif, menandakan bahwa pertumbuhan ekonomi memiliki pengaruh signifikan terhadap partisipasi pendidikan tinggi, kemungkinan karena peningkatan pendapatan dan kesempatan ekonomi mendorong masyarakat untuk melanjutkan pendidikan.

Baris keempat menunjukkan bagaimana respons PDRB terhadap guncangan dari RLS menunjukkan fluktuasi pada awal periode yang cenderung stabil di periode berikutnya, mengindikasikan bahwa peningkatan pendidikan berpengaruh terhadap pertumbuhan ekonomi dalam jangka pendek. Respons terhadap IPM dan PPM juga menunjukkan efek yang relatif kecil dan cepat stabil, menunjukkan bahwa kualitas pembangunan manusia dan partisipasi pendidikan tinggi memiliki pengaruh terhadap PDRB namun dengan intensitas yang tidak terlalu besar. Respons PDRB terhadap shock-nya sendiri menunjukkan pola fluktuatif tajam di awal, kemudian kembali stabil, menandakan adanya mekanisme koreksi internal dalam variabel PDRB.

8. Uji Variance Decomposition (VD)

VD menggambarkan besarnya bagian dari perubahan suatu variabel yang disebabkan oleh pengaruh dari guncangan variabel itu sendiri, serta bagaimana pengaruh tersebut berdampak pada perubahan variabel lain secara bertahap. Dengan kata lain, VD membantu mendeskripsikan mana variabel yang cenderung lebih stabil dan bagaimana guncangan pada variabel tersebut memberikan kontribusi dalam menjelaskan variasi atau perubahan pada variabel lainnya. (Ahmad & Triani, 2018).

Tabel 8. Hasil Uji *Variance Decomposition* (VD)

1	Variance Period	e Decomposi S.E.	tion of D(RLS,: D(RLS,2)	2): D(IPM,2)	D(PPM,2)	D(PDRB,2)
2 0.037645 96.34331 1.926339 1.011872 0.718477 3 0.040877 96.32024 1.788929 0.957857 0.932877 4 0.040879 96.32024 1.788929 0.957857 0.932877 5 0.040899 94.71801 3.431780 1.100430 0.749776 6 0.052378 93.86529 3.855926 1.038744 1.272738 7 0.054938 94.20771 3.477965 0.951884 1.362443 7 0.054938 94.20771 3.477965 0.951884 1.362443 8 0.059463 90.34471 7.289772 0.986298 1.379218 9 0.059463 90.34471 7.289772 0.986298 1.379218 10 0.053159 90.93813 6.861522 0.875445 1.224900 Variance Decomposition of D(PM.2): Period S.E. D(R.S.2) D(PM.2) D(PPM.2) D(PDR.2) 1 0.050269 0.677489 99.32251 0.000000 0.000000 2 0.054601 2.007928 95.00343 1.340068 1.648678 3 0.053369 2.757342 94.09899 1.255931 1.8777742 4 0.054819 3.166084 93.47647 1.525763 1.831684 6 0.054819 3.166084 93.47647 1.525763 1.831684 7 0.104824 2.356815 80.80409 1.886937 15.89640 7 0.104824 2.356815 78.65032 2.162052 16.83082 8 0.061401 2.256815 78.65032 2.162052 16.83082 8 0.061402 2.917002 74.81356 2.97393 20.17205 10 0.149796 40.63842 45.18781 2.258791 11.91498 Variance Decomposition of D(PPM.2): Period S.E. D(R.S.2) D(PM.2) D(PPM.2) 1 0.104887 73.45890 22.4475 3.162916 5.903441 4 0.219123 66.68890 22.24475 3.162916 5.903441 5 0.291923 64.43489 24.4965 3.323399 9.977537 8 0.248852 62.38661 23.72440 3.207397 6.785399 7 0.248852 62.38661 24.39751 3.238339 9.977537 8 0.226729 61.35580 24.09855 3.455498 11.09014 5 0.200172 58.40457 27.60861 3.324118 10.66763 8 0.020072 58.40467 27.60861 3.324118 10.66763 9 0.042687 79.04368 79.40965 3.455498 11.09014 5 0.200172 58.40467 27.60861 3.324118 10.66763 5 0.020070 58.40867 27.60861 3.324118 10.66763 5 0.020070 58.40867 27.60861 3.324118 10.66763 5 0.020070 58.40867 79.40965 3.455498 11.99014 5 0.020070 58.40867 79.40965 3.455498 11.99014 5 0.020070 58.40867 79.40965 3.45649 79.40965 3.324118 10.66763 5 0.020070 58.40867 79.40965 3.45649 79.60965 3.324118 10.66763 5 0.020070 58.40867 79.40965 3.45649 79.60965 3.324118 10.66763 5 0.020070 58.40867 79.40965 3.45649 79.60965 3.324118 10.66763 5 0.020070 58.40867 79.40965 3.456	-1	0.036634	100.0000	0.000000	0.000000	0.000000
3 0.040870 96.32034 1.788929 0.957857 0.932877 4 0.042929 96.11922 1.802148 1.194078 0.884549 6 0.042929 96.11922 1.802148 1.194078 0.884549 6 0.082378 93.82559 3.825926 1.038744 1.272738 6 0.052378 93.82559 3.825926 1.038744 1.272738 8 0.058228 94.19570 3.592186 0.855054 1.257055 10 0.052378 90.93813 6.961522 0.855054 1.257055 10 0.052318 90.93813 6.961522 0.875445 1.224900 10 0.053159 90.93813 6.961522 0.875445 1.224900 10 0.053159 90.93813 6.961522 0.875445 1.224900 10 0.053159 90.93813 6.961522 0.875445 1.224900 10 0.053159 90.93813 6.961522 0.875445 1.224900 10 0.052659 0.677489 99.32251 0.000000 0.0000000 1.0000000 1.000000 1.000000 1.000000 1.000000 1.000000 1.0000000 1.00000000						
1	2					
Section						
6 0.052378 93.86259 3.825926 1.038744 1.272738 7 0.054938 94.20771 3.477965 0.951884 1.362443 8 0.0593463 90.34471 7.289772 0.951884 1.362443 9 0.059463 90.34471 7.289772 0.986298 1.379218 10 0.063159 90.93813 6.961522 0.875445 1.224900 Variance Decomposition of D(PPM.2): Period S.E. D(RLS.2): D(PM.2): D(PPM.2) D(PDRB.2) 1 0.059490 0.677489 99.3251 0.00000 0.000007 2 0.051891 3.166084 93.47647 1.525763 1.831684 4 0.054819 3.166084 93.47647 1.525763 1.831684 5 0.093718 1.537193 91.93893 2.101939 4.421042 5 0.093718 1.537193 91.93893 2.101939 4.421042 6 0.054819 3.166084 93.47647 1.525763 1.831684 5 0.093718 1.537193 91.93893 2.101939 4.421042 8 0.108325 2.917002 74.81356 2.097393 20.17205 8 0.108325 2.917002 74.81356 2.097393 20.17205 9 0.145709 39.88573 46.22663 2.244578 11.64307 10 0.146708 46.63842 45.18761 2.256791 11.91498 Variance Decomposition of D(PPM.2): Period S.E. D(RLS.2): D(IPM.2) D(PPM.2) D(PDRB.2) 1 0.18492 73.42687 23.55110 3.022022 0.000000 2 0.204867 69.97231 22.12978 2.882506 5.015398 3 0.211003 68.68890 22.24475 3.162916 5.903441 4.5003 2.24578 3.24588 8.209070 7 0.248852 62.38661 24.39751 3.238339 9.977537 7.0248852 62.38661 24.39751 3.238339 9.977537 7.0248852 62.38661 24.39751 3.338339 9.977537 7.0248852 62.38661 24.39751 3.338339 9.977537 7.0248852 62.38661 24.39751 3.338339 9.977537 7.0248852 62.38661 24.39751 3.338339 9.977537 7.0248852 62.38661 24.39751 3.338339 9.977537 7.0248852 62.38661 24.39751 3.338339 9.977537 7.0248852 62.38661 24.39751 3.338339 9.977537 7.0248852 62.38661 24.39751 3.338339 9.977537 7.0248852 62.38661 24.39751 3.338339 9.977537 7.0248852 62.38661 24.39751 3.338339 9.977537 7.02488567 14.58533 9.986056 24.39751 3.534141 50.05763 3.314108 5.03441 50.56763 3.314108 5.03441 50.05763 3.314108 5.03441 50.05763 3.314108 5.03441 50.05763 3.314108 5.03441 50.05763 3.314108 5.03441 50.05763 3.314108 5.03441 50.05763 3.314108 5.03441 50.05763 3.314108 5.03441 50.05763 3.314108 5.03441 50.05763 3.314108 5.03441 50.05763 3.31441 50.05763 3.31441 50.05763 3.31441 50.05763						
7 0.054938 94.20771 3.477965 0.951884 1.362433 8 0.058028 94.19570 3.992186 0.955054 1.2570543 9 0.059463 90.34471 7.289772 0.98228 1.379218 10 0.093193 90.39813 7.289772 0.980208 1.379218 10 0.093193 90.39813 0.961522 0.875448 1.224090 1 0.050269 0.677489 99.32251 0.000000 0.000000 2 0.051401 2.007928 95.09343 1.340068 1.648578 3 0.053369 2.757342 94.09899 1.265931 1.877742 4 0.093718 1.537193 91.39983 2.101939 4.421044 5 0.093718 1.537193 91.39983 2.162052 16.83687 9 0.146709 30.88573 46.22663 2.244678 11.64307 10 0.149796 40.63842 45.18781 2.258791 11.91498 Var						
8 0.058228 94.19570 3.692186 0.855054 1.257055 9 0.059159 90.34471 7.289772 0.86228 1.379218 9 0.063159 90.34471 7.289772 0.86228 1.379218 1 0.063159 9.03813 0.861522 0.875448 1.224900 2 0.671401 2.07928 9.00343 1.340068 1.648578 3 0.053369 2.757342 94.09899 1.265931 1.8777742 4 0.093718 1.537193 91.93983 2.101939 4.421042 5 0.093718 1.537193 91.93983 2.101939 4.421042 7 0.104824 2.356815 78.65032 2.162052 16.83082 9 0.145709 39.88573 46.22663 2.244578 11.91498 Variance Decomposition of D(PDM,2): D(PPM,2) D(PPM,2) D(PDR,2) Period S.E. D(RLS,2) D(PM,2) D(PPM,2) D(PDR,2) 1 0.164970 </td <td></td> <td></td> <td></td> <td></td> <td></td> <td></td>						
9 0.059463 10 90.34471 90.93813 7.289772 8.981522 0.986298 0.975445 1.379218 1.224900 Variance Decomposition of D(IPM,2): Period D(RM,2): D(RM,2) D(PM,2): D(PM,2) D(PM,2): D(PM,2) D(PM,2): D(PM,2) D(PM,2): D(PM,2) D(PM,2): D(PM,2) D(PM,2): D(PM,2): D(PM,2) D(PDR,2): D(PM,2): D(PDR,2): D(PM,2): D(P						
Variance Decomposition of D(PM,2): Period D(RLS,2) D(IPM,2): D(IPM,2) D(PPM,2) D(PPM,2) D(PDRB,2) 1 0.050269 0.677489 99.32251 0.000000 0.000000 2 0.051401 2.007922 95.00343 1.340088 1.648678 3 0.051401 2.007922 95.00343 1.340088 1.648678 4 0.054819 3.166084 93.47647 1.525763 1.831684 5 0.093718 1.537193 91.93993 2.101939 4.421042 6 0.09974 1.356169 80.86049 1.886937 1.836404 8 0.08326 2.80605 74.861366 2.97293 2.037205 9 0.145709 39.88573 46.22663 2.244678 11.64307 10 0.148709 30.88573 46.22663 2.244678 11.64307 Period S.E. D(REN,2) D(PPM,2) D(PPM,2) D(PPM,2) 1 0.18492 73.42587 2.155110 3.022022 0.						
Variance Decomposition of D(IPM,2): Period S.E. D(IPM,2) D(IPM,2) D(IPM,2) 1						
Period S.E. D(RLS,2) D(PM,2) D(PPM,2) D(PDRB,2)	10	0.063159	90.93813	6.961522	0.875445	1.224900
1						
2 0.051401 2.007928 95.00343 1.340068 1.648678 3 0.053369 2.757342 94.09899 1.265931 1.8777742 4 0.053369 2.757342 94.09899 1.265931 1.8777742 4 0.053369 2.757342 94.09899 1.265931 1.8777742 4 0.053679 1.357093 1.357093 1.265931 1.877742 6 0.09974 1.35610 80.86049 1.886937 1.589640 7 0.104824 2.356815 78.65032 2.162052 16.83082 8 0.0146709 30.88673 46.22663 2.244678 11.64308 9 0.146709 30.88673 46.22663 2.244678 11.64308 9 0.146709 30.88673 46.22663 2.244678 11.64308 9 0.146709 30.88673 46.22663 2.244678 11.64308 9 0.146709 30.88673 46.22663 2.244678 11.64308 10 0.18492 73.42687 23.55110 3.02202 0.000000 1 2 0.26467 69.07231 22.12978 2.882506 5.015308 3 0.211003 68.68890 22.24475 3.162916 5.903441 4 0.219123 66.28287 23.72440 3.207397 6.786399 7 0.248852 62.38661 24.39751 3.238339 9.977537 8 0.252729 61.35569 24.09855 3.455408 11.09014 1 0.262132 58.28427 27.46051 3.530477 10.72475 Variance Decomposition of D(PDRB.2) 1 0.974205 41.69332 9.880506 2.5.38737 23.02326 1 0.974205 41.69328 77.46051 3.530477 10.72475 Variance Decomposition of D(PDRB.2) 1 0.974205 41.69328 9.880506 2.5.38737 23.02326 2 1.412464 31.25649 7.944780 1.5530477 10.72475 2 1.412464 31.25649 7.944780 1.5530477 10.72475 3 1.788657 19.55922 12.56213 15.41544 46.22081 3 1.788657 19.55922 12.56213 15.41544 52.2081 5 3.315466 60.03571 16.15717 6.207300 11.59982 9 6.042681 73.94680 12.03934 4.114227 9.899631 10.60388 11.09014 9 6.042681 73.94680 12.03934 4.114227 9.899631 10.60388 11.09014 9 6.042681 73.94680 12.03934 4.114247 9.899631 10.60388 11.09014 9 6.042681 73.94680 12.03934 4.114247 9.899631 10.60388 11.09014 9 6.042681 73.94680 12.03934 4.114247 9.899631 10.60388 11.09014 9 6.042681 73.94680 12.03934 4.114247 9.899631 10.60388 11.09014 10.73381 10.60388 11.09014 10.73381 10.60388 11.09014 10.73381 10.60388 11.09014 10.73381 10.60388 11.09014 10.73381 10.7	Period	S.E.	D(RLS,2)	D(IPM,2)	D(PPM,2)	D(PDRB,2)
3 0.055369 2.757342 94.09899 1.265931 1.877684 1.4871684 4.0054819 3.166064 93.47647 1.525763 1.831684 93.005064 93.47647 1.525763 1.831684 95.005064 93.47647 1.525763 1.831684 95.005064 93.47647 1.525763 1.831684 95.005064 93	1					
4	2	0.051401	2.007928	95.00343	1.340068	1.648578
Second		0.053369	2.757342	94.09899	1.265931	1.877742
Second	4	0.054819	3.166084	93.47647	1.525763	1.831684
6 0.099974 1.356169 80.86049 1.886937 15.89640 7 0.104824 2.366815 78.65032 2.162052 16.83082 9 0.1046709 30.88573 46.22063 2.244678 11.64307 10 0.149796 40.63842 45.18781 2.258791 11.91498	5	0.093718	1.537193	91.93983		4.421042
7 0.104824 2.356815 78.65032 2.162052 16.83082 8 0.108325 2.917002 74.81356 2.097393 20.17205 9 0.145709 30.88573 46.22663 2.244578 11.64307 10 0.146709 30.88573 46.22663 2.244578 11.64307 10 0.146709 30.88573 46.22663 2.244578 11.91498	6	0.099974	1.356169	80.86049		
8 0.108325 2.917002 74.81356 2.097393 20.17205 9 0.145709 30.88573 40.22663 2.244578 11.64307 11.0 0.145709 40.63842 45.18781 2.256791 11.91498 2.256791 11.91498 2.256791 2.256791 11.91498 2.256791 2.256791 11.91498 2.256791 2.256791 11.91498 2.256791 2.256791 11.91498 2.256791 2.2		0.104824		78.65032	2.162052	16.83082
9 0.146709 39.88573 46.22663 2.244578 11.64307 10 0.149799 40.63842 45.187691 2.258791 11.91498 Variance Decomposition of D(FPM,2):						
10						
Variance Decomposition of D(PPM,2): D(PM,2): D(PPM,2) D(PPM,2) D(PDRB,2) 1 0.188492 73.42687 23.55110 3.022022 0.000000 2 0.204867 69.97231 22.12978 2.882506 5.015398 3 0.211003 68.68890 22.24475 3.162919 5.903440 4 0.236198 64.43469 24.49465 2.881583 8.209070 6 0.245741 63.57805 24.67273 3.023251 8.725973 7 0.2468852 62.38661 24.39751 3.238339 9.977537 10 0.260072 58.40845 27.60981 3.524118 10.65763 9 0.260072 58.40845 27.60981 3.530477 10.72475 Variance Decomposition of D(PDRB,2) D(PPM,2) D(PPM,2) D(PDRB,2) Period S.E. D(RJS,2) D(PPM,2) D(PPR,2) D(PDRB,2) 1 1.974264 31.58649 7.947360 14.57534 46.22081 3						
2 0.204867 69.97231 22.12978 2.882506 5.015398 3 0.211003 68.68890 22.24475 3.162916 5.903441 4 0.211003 68.68890 22.24475 3.162916 5.903441 5 0.236198 64.3489 24.7456 3.162916 7 8.209070 6 0.245741 63.57805 24.67273 3.023251 8.725973 7 0.248852 62.38661 24.39751 3.238339 9.977537 7 0.248852 62.38661 24.39751 3.238339 9.977537 9 0.20072 58.40845 7.00981 3.238339 9.977537 1 0.262132 58.28427 27.46051 3.234339 9.977537 1 0.262132 58.28427 27.46051 3.234138 10.65763 1 0.262132 58.28427 27.46051 3.530477 10.72475					D(PPM,2)	D(PDRB,2)
3 0.211003 68.68890 22.24475 3.162916 5.903441 4 0.219123 66.28281 23.72440 3.207397 6.7853441 5.025169 64.43469 24.49465 2.861583 8.209070 6.785361 24.39516 24.49465 2.861583 8.209070 6.785361 24.39751 3.28339 9.977537 8 0.252729 61.35580 24.09855 3.455498 11.09014 6.262132 58.6845 27.46051 3.324118 10.65763 6.262132 58.62427 27.46051 3.324118 10.65763 6.262132 58.28427 6.262132 58.28427 6.262132 58.28427 6.262132 58.28427 6.262132 6.26213						
4 0.219123 66.28281 23.72440 3.207397 6.785399 6.0246181 24.40465 24.40465 24.0016181 25.00170 25.0017		0.204867	69.97231	22.12978	2.882506	5.015398
5 0.236198 64.43469 24.49465 2.881583 8.209070 6 0.245749 63.57805 24.67273 3.023281 8.725973 7 0.2467729 63.38690 24.37671 3.248283 9.76714 9 0.260772 68.40840 27.60981 3.324118 10.65763 10 0.2602132 58.28427 27.46051 3.530477 10.72475 Variance Decomposition of D(PDR8.2): Period S.E. D(RLS,2) D(PM.2) D(PPM.2) D(PDR8.2) 1 0.974205 41.69332 9.86056 25.38737 23.02326 2 1.412464 31.25649 7.047360 14.57534 46.22081 4 1.788657 24.85318 9.065010 16.07131 50.01049 4 1.788657 12.85318 9.05010 16.07131 50.01049 5 3.815460 66.03571 16.15776 6.207300 11.5982 7 4.211654 60.071390 14.45409	3	0.211003	68.68890	22.24475	3.162916	5.903441
6 0.245741 63.97805 24.67273 3.023251 8.725973 7 0.248852 62.38661 24.39761 3.238339 9.977637 8 0.252729 61.35580 24.09855 3.455498 11.09014 10.0262132 58.28427 27.46051 3.530477 10.72475 10.0262132 58.28427 27.46051 3.530477 10.72475 27.46051 3.530477 10.72475 27.46051 3.530477 10.72475 27.46051 3.530477 10.72475 27.46051 3.530477 10.72475 27.46051 27		0.219123	66.28281	23.72440	3.207397	6.785399
7 0.248852 62.38661 24.39761 3.238339 9.977637 8 0.252729 61.35560 24.09855 3.455498 11.09014 10 0.252732 58.28427 27.46051 3.530477 10.72475	5	0.236198	64.43469	24.49465	2.861583	8.209070
8	6	0.245741	63.57805	24.67273	3.023251	8.725973
8						
9 0.260072 58.40845 27.60981 3.324118 10.65763 10 0.262132 58.28427 27.46051 3.50477 10.72475						
10						
Period S.E. D(RLS,2) D(PM,2) D(PPM,2) D(PPR,2) 1 0.974205 4169332 9.896056 25.38737 23.02236 2 1.412464 31.25649 7.947360 14.57534 46.22081 3 1.586757 24.85318 9.065010 16.07131 50.01049 4 1.788657 19.55922 12.56213 15.41544 52.46321 5 3.815469 66.03571 16.15736 6.207300 11.59980 7 4.211654 60.071390 14.45409 5.949764 18.88225 8 4.305044 61.02914 13.46021 5.995523 19.43513 9 6.042681 73.94680 12.03934 4.114227 9.89631 10 6.333679 74.20691 11.21860 3.811306 10.76338						
2 1.412464 31.25649 7.947360 14.57534 46.22081 3 1.586757 24.85318 9.065010 16.07131 50.01049 4 1.788665 19.55922 12.56213 15.41544 52.46321 6 4.077301 59.73013 14.17058 6.081589 20.01760 7 4.211654 60.71390 14.45409 5.949764 18.89225 8 4.305044 61.02914 13.84021 5.945764 18.89225 9 6.042687 73.94680 12.03934 4.114227 9.899631 10 6.333679 74.20691 11.21880 3.811306 10.79338 Cholesky Ordering: D(RLS,2) D(IPM,2) D(PPM,2) D(PDRB,2)					D(PPM,2)	D(PDRB,2)
2 1.412464 31.25649 7.947360 14.57534 46.22081 3 1.586757 24.85318 9.065010 16.07131 50.01049 4 1.788665 19.55922 12.56213 15.41544 52.46321 6 4.077301 59.73013 14.17058 6.081689 20.01760 7 4.211654 60.71390 14.45409 5.949764 18.88225 8 4.305044 61.02914 13.84021 5.945764 18.88225 9 6.04269 73.94680 12.03934 4.114229 9.899631 10 6.333679 74.20691 11.21880 3.811306 10.79338	-	0.974205	41 60222	9 996056	25 20727	22 02226
3 1.586757 24.85318 9.065010 16.07131 50.01049 4 1.788657 19.55922 12.56213 15.41544 52.46321 5 3.815466 6.03571 16.15717 6.207300 11.59982 6 4.077301 59.73013 14.17058 6.81689 20.01760 7 4.077304 17.0701 14.17058 6.81689 20.01760 8 4 3.05044 61.02914 13.84021 5.695523 19.43513 9 6.042681 73.94680 12.09344 4.114227 9.89953 10 6.333679 74.20651 11.21880 3.811306 10.76338 Cholesky Ordering: D(RLS,2) D(IPM,2) D(PPM,2) D(PDRB,2)						
4 1.788657 19.55922 12.56213 15.41544 52.45025 5 3.815469 66.03573 16.15717 6.207300 11.59982 7 4.211654 60.71390 14.45409 5.949764 18.80225 8 4.305044 61.02914 13.84021 5.9459764 19.80253 9 6.042681 73.94680 12.03934 4.114227 98.9631 10 6.333679 74.20661 11.21880 3.811306 10.76338 Cholesky Ordering: D(RLS.2) D(IPM.2) D(PDR.2) D(PDR.8.2)						
5 3.815466 66.03571 16.15717 6.207300 11.59982 6 4.077301 59.73013 14.17058 6.81589 20.01750 7 4.211654 60.71390 14.45409 5.949764 18.89225 9 4.042681 73.04680 13.09323 14.09523 19.042681 73.04680 13.09323 70.00000 10.76338 Cholesky Ordering: D(RLS,2) D(IPM,2) D(PPM,2) D(PDRB,2)						
6 4.077301 59,73013 14.17058 6.081689 20.01750 7 4.211654 60.71390 14.45409 5.949764 18.88225 8 4.305044 61.02914 13.84021 5.695523 19.43513 9 6.042681 73.94680 12.09344 4.114227 9.899631 10 6.333679 74.20651 11.21880 3.811306 10.76338 Cholesky Ordering: D(RLS,2) D(IPM,2) D(PPM,2) D(PDRB,2)						
7 4.211654 60.71390 14.45409 5.949764 18.89225 8 4.305044 61.02914 13.84021 5.995523 19.43513 9 6.042681 73.94680 12.03934 4.114227 98.99631 10 6.333677 74.20691 11.21880 3.811306 10.76338 Cholesky Ordering: D(RLS,2) D(IPM,2) D(PPM,2) D(PDRB,2)						
8 4.305044 61.02914 13.84021 5.695523 19.43513 9 6.042681 73.94680 12.03934 4.114227 9.899631 10 6.333679 74.20651 11.21880 3.811306 10.76338 Cholesky Ordering: D(RLS,2) D(IPM,2) D(PPM,2) D(PDRB,2)						
9 6.042681 73.94680 12.03934 4.114227 9.899631 10 6.333679 74.20651 11.21880 3.811306 10.76338 Cholesky Ordering: D(RLS,2) D(IPM,2) D(PPM,2) D(PDRB,2)						
10 6.333679 74.20651 11.21880 3.811306 10.76338 Cholesky Ordering: D(RLS,2) D(IPM,2) D(PPM,2) D(PDRB,2)						
Cholesky Ordering: D(RLS,2) D(IPM,2) D(PPM,2) D(PDRB,2)						
	-10	6.333679	74.20651	11.21880	3.011306	10.76338
	Cholesi	ky Ordering: D	(RLS,2) D(IPN	1,2) D(PPM,2) I	D(PDRB,2)	

Sumber: Hasil olah data Eviews9



a. Variance Decomposition (VD) dari D(RLS,2)

Fluktuasi variabel RLS paling besar dipengaruhi oleh dirinya sendiri. Pada periode ke-1 hingga ke-10, kontribusi variabel RLS terhadap variansnya sendiri konsisten tinggi, dimulai dari 100% pada awal periode dan hanya sedikit menurun menjadi sekitar 90,94% pada periode ke-10. Pengaruh IPM, PPM, dan PDRB terhadap RLS sangat kecil, masing-masing tidak melebihi 4% secara individu. Hal ini menunjukkan bahwa perubahan rata-rata lama sekolah lebih dipengaruhi oleh faktor internal dalam pendidikan itu sendiri daripada variabel makroekonomi lainnya.

b. Variance Decomposition (VD) dari D(IPM,2)

Untuk variabel IPM, pada periode awal (periode ke-1), hampir seluruh variasinya (99,33%) dijelaskan oleh PPM, namun kontribusinya menurun menjadi sekitar 45,18% pada periode ke-10. Sebaliknya, kontribusi dari PDRB meningkat secara signifikan hingga mencapai 11,91%, dan RLS juga menunjukkan peningkatan kontribusi meskipun masih kecil (sekitar 39,48% pada periode ke-10). Ini menunjukkan bahwa dalam jangka panjang, IPM tidak dipengaruhi oleh partisipasi pendidikan tinggi saja, tapi juga oleh faktor-faktor lain seperti pertumbuhan ekonomi dan rata-rata lama sekolah.

c. Variance Decomposition (VD) dari D(PPM,2)

Fluktuasi pada variabel PPM awalnya sangat dipengaruhi oleh dirinya sendiri (sekitar 73,43% pada periode ke-1), namun menurun menjadi sekitar 27,40% pada periode ke-10. Sementara itu, kontribusi RLS dan IPM meningkat cukup signifikan masing-masing menjadi 58,28% dan 13,26% pada periode ke-10. PDRB memiliki pengaruh yang kecil namun stabil di kisaran 1%. Temuan ini menunjukkan bahwa partisipasi pendidikan tinggi sangat dipengaruhi oleh lama sekolah dan pembangunan manusia secara keseluruhan, sementara dampak langsung dari PDRB masih terbatas.

d. Variance Decomposition (VD) dari D(PDRB,2)

Pada variabel PDRB, varians awalnya banyak dijelaskan oleh IPM (41,85%) dan PPM (25,38%), dengan kontribusi RLS sebesar 9,09%. Namun, pada periode ke-10, kontribusi IPM menurun menjadi 13,44%, dan PPM turun menjadi 6,88%, sedangkan kontribusi dari RLS justru meningkat menjadi 74,20%, menjadikannya faktor paling dominan terhadap fluktuasi PDRB dalam jangka panjang. Ini mengindikasikan bahwa investasi dalam pendidikan, terutama peningkatan lama sekolah, memberikan dampak signifikan terhadap pertumbuhan ekonomi regional dalam jangka panjang.

PEMBAHASAN

Kausalitas Tingkat Pendidikan dan Tingkat Pengangguran Terbuka

Berdasarkan hasil analisis VECM dan IRF, tingkat pendidikan yang lebih tinggi (RLS) memiliki pengaruh dalam menurunkan Tingkat Pengangguran Terbuka (TPT) dalam jangka panjang. Hal ini konsisten dengan teori bahwa pendidikan meningkatkan kualitas tenaga kerja dan memperbesar peluang kerja. Temuan ini sejalan dengan penelitan yang dilakukan oleh Ahmad dan Triani (2018),

yang menemukan bahwa pendidikan berpengaruh terhadap pengurangan pengangguran di Sumatera Barat.

Kausalitas Tingkat Pendidikan dan PDRB Per Kapita

Temuan ini menunjukkan bahwa kontribusi RLS terhadap PDRB per kapita sangat besar, khususnya dalam jangka panjang. VD menunjukkan bahwa kontribusi RLS terhadap PDRB bahkan mencapai 74,20% pada periode ke-10, menjadikannya faktor paling dominan. Hal ini sejalan dengan penelitian yang dilakukan oleh Chachi dan Sukamto (2015), yang membuktikan bahwa pendidikan perempuan memiliki korelasi kuat dengan peningkatan PDRB per kapita di Yogyakarta.

Kausalitas Tingkat Pendidikan dan Persentase Penduduk Miskin

Secara tidak langsung, peningkatan pendidikan menurunkan tingkat kemiskinan karena pendidikan mampu meningkatkan keterampilan masyarakat dan memperbesar peluang pendapatan yang layak. Hasil IRF dan VD menampilkan bahwa pendidikan berdampak besar terhadap perbaikan ekonomi yang berkelanjutan. Temuan ini sejalan dengan penelitian yang dilakukan oleh Thahir et al, (2021) yang menunjukkan bahwa pendidikan memperkuat kesejahteraan dan menurunkan kemiskinan di tingkat daerah.

Kausalitas Tingkat Pengangguran Terbuka dan PDRB Per Kapita

Temuan ini menunjukkan pengaruh TPT terhadap PDRB per kapita relatif kecil dalam jangka pendek, namun tetap berperan dalam dinamika ekonomi Papua. Meskipun tidak dominan, penyerapan tenaga kerja yang baik menjadi syarat penting untuk memaksimalkan output ekonomi. Hal ini sejalan dengan penelitian yang dilakukan oleh Ratundima et al, (2024), yang mengungkapkan bahwa pengangguran berbanding terbalik dengan pertumbuhan ekonomi, artinya penurunan TPT meningkatkan PDRB.

Kausalitas Tingkat Pengangguran Terbuka dan Persentase Penduduk Miskin

Meskipun pada temuan ini mengungkapkan bahwa pengaruh TPT dan persentase penduduk miskin dalam jangka pendek kecil, secara struktural tingginya TPT memperbesar jumlah penduduk miskin karena masyarakat tidak mampu memperoleh penghasilan layak. Hal ini berbanding terbalik dengan temuan Putra et al, (2022), yang mengungkapkan bahwa kausalitas antara pengangguran dan kemiskinan signifikan, terutama di Indonesia timur.

Kausalitas PDRB Per Kapita dan Persentase Penduduk Miskin

Hasil IRF dan VD pada penelitian ini memperlihatkan bahwa pertumbuhan ekonomi (PDRB per kapita) berdampak terhadap pengurangan kemiskinan, meskipun efeknya tidak sekuat pendidikan dalam jangka panjang. Hal ini menunjukkan bahwa pertumbuhan ekonomi perlu dikombinasikan dengan pemerataan akses



agar lebih efektif dalam menurunkan kemiskinan. Hal ini sejalan dengan penelitian yang dilakukan oleh Chachi & Sukamto (2015), yang menekankan pentingnya pertumbuhan ekonomi inklusif untuk mengurangi kemiskinan secara berkelanjutan.

KESIMPULAN

Melalui hasil penelitian mengenai hubungan kausalitas antara tingkat pendidikan, tingkat pengangguran terbuka, PDRB per kapita, dan persentase penduduk miskin di Provinsi Papua, dapat diambil kesimpulan bahwa tidak ditemukan hubungan kausalitas satu arah yang signifikan dalam jangka pendek antar variabel, sebagaimana dibuktikan oleh seluruh nilai probabilitas uji Granger Causality >0.05. Namun, uji kointegrasi Johansen menunjukkan setidaknya ada satu hubungan kointegrasi, yang berarti ada hubungan yang signifikan dalam jangka panjang antara variabel-variabel tersebut.

Analisis menggunakan model Vector Error Correction Model (VECM) memperkuat temuan ini, di mana koefisien error correction term (ECT) pada beberapa variabel utama signifikan secara statistik, menandakan adanya mekanisme penyesuaian menuju keseimbangan jangka panjang saat terjadi ketidakseimbangan. Hasil analisis Impulse Response Function dan Variance Decomposition juga menjelaskan bahwa setiap variabel cenderung paling responsif terhadap guncangan dari dirinya sendiri, namun terdapat pengaruh terutama antara pendidikan dan variabel, pertumbuhan ekonomi, serta antara pertumbuhan ekonomi dan partisipasi pendidikan tinggi. Secara keseluruhan, penelitian ini menegaskan bahwa meskipun tidak ada pengaruh jangka pendek yang signifikan, terdapat kestabilan hubungan jangka panjang antara tingkat pendidikan, pengangguran, pertumbuhan ekonomi, dan kemiskinan di Papua. Temuan ini penting sebagai dasar empiris yang kuat bahwa pembangunan di Papua tidak bisa hanya difokuskan pada sektor ekonomi semata, melainkan juga harus diarahkan ke sektor pendidikan dan ketenagakerjaan secara seimbang.

DAFTAR PUSTAKA

Ahmad, D., & Triani, M. (2018). Analisis Kausalitas Antara Kemiskinan, Ketimpangan Pendapatan Dan Tingkat Pendidikan Di Provinsi Sumatera Barat. *Jurnal Ecogen*, *I*(3), 604–615. https://doi.org/10.24036/jmpe.v1i3.5031

Badan Pusat Statistik Provinsi Papua. (2024). *Profil Kemiskinan Provinsi Papua Maret 2024* (Issue 130).

Badan Pusat Statistik Provinsi Papua. (2025). Produk Domestik Regional Bruto Kabupaten/Kota Se-Provinsi Papua Menurut Lapangan Usaha. In I. S. N. Sinaga (Ed.), *BPS Provinsi Papua* (Vol. 20). BPS Provinsi Papua. http://scioteca.caf.com/bitstream/handle/123456789/1091/RED2017-Eng-

8ene.pdf?sequence=12&isAllowed=y%0Ahttp://dx.doi.org/10.1016/j.regsciurbeco.2008.06.005%0Ahttps://www.researchgate.net/publication/305320484_Sist

em_Pembetungan_Terpusat_Strategi_Melestari

BPS Provinsi Papua Barat. (2024). Keadaan Ketenagakerjaan Provinsi Papua Barat Daya Agustus 2024. In *Berita Resmi Statistik* (Issue 138).

Chachi, A. D. N., & Sukamto, A. (2015). Kausalitas Antara Tingkat Pendidikan Perempuan dan Produk Domestik Regional Bruto Per Kapita di Daerah Istimewa Yogyakarta Tahun 1995-2012. *Jurnal Ilmu Ekonomi*, 1–15.

Putra, P. G., Anis, A., & Irfan, M. (2022). Analisis Kausalitas Indeks Pembangunan Manusia Pengangguran Pertumbuhan Ekonomi dan Ketimpangan Pendapatan di Indonesia. *Jurnal Kajian Ekonomi Dan Pembangunan*, 4(4), 65–78. https://doi.org/10.24036/jkep.v4i4.14062

Ratundima, A. M., Renggo, Y. R., & Hudang, A. K. (2024). Hubungan Kausalitas Antara Pertumbuhan Ekonomi Dan Kemiskinan Di Kabupaten Sumba Timur. *GOVERNANCE: Jurnal Ilmiah Kajian Politik Lokal Dan Pembangunan, 10*(4), 118–126.

Sari, D. I. P. (2025). Indikator Pendidikan Provinsi Papua Tahun 2024. In B. P. Papua (Ed.), *Badan Pusat Statistika Papua* (Vol. 13). http://scioteca.caf.com/bitstream/handle/123456789/1091/RED2017-Eng-

8ene.pdf?sequence=12&isAllowed=y%0Ahttp://dx.doi.org/10.1016/j.regsciurbeco.2008.06.005%0Ahttps://www.researchgate.net/publication/305320484_Sistem_Pembetungan_Terpusat_Strategi_Melestari

Thahir, M. I., Semmaila, B., & Arfah, A. (2021). Pengaruh Pertumbuhan Ekonomi, Pendidikan Dan Kesehatan Terhadap Kemiskinan di Kabupaten Takalar. *Journal of Management Science (JMS)*, 2(1), 61–81. https://doi.org/10.52103/jms.v2i1.323